Centro de Investigaciones Energéticas, Medioambientales y Tecnológicas







UNIVERSIDAD DE LA REPÚBLICA URUGUAY



# TECNOLOGÍAS, OPERACIÓN Y APLICACIÓN DEL ALMACENAMIENTO DE ENERGÍA EN SISTEMAS ELÉCTRICOS

23 MAYO - 03 JUNIO DE 2022

Volantes de inercia: modelo y ejemplo de integración en aplicaciones como almacenamiento híbrido Jorge Torres

01 junio de 2022







### Contenido

- 1. Volantes de inercia: Parámetros principales.
- 2. Volantes de inercia: Formulación de energía, potencia y dinámica.
- 3. Volantes de Inercia: Mapa de eficiencia de ciclado
- 4. Volantes de Inercia: Control de un sistema con varios módulos
- 5. Volantes de Inercia: Esquema final
- Plantas comerciales de almacenamiento con volantes
- 7. Plantas comerciales de almacenamiento híbrido con volantes
- 8. Ejemplo de aplicación de volantes de inercia

Ciemat

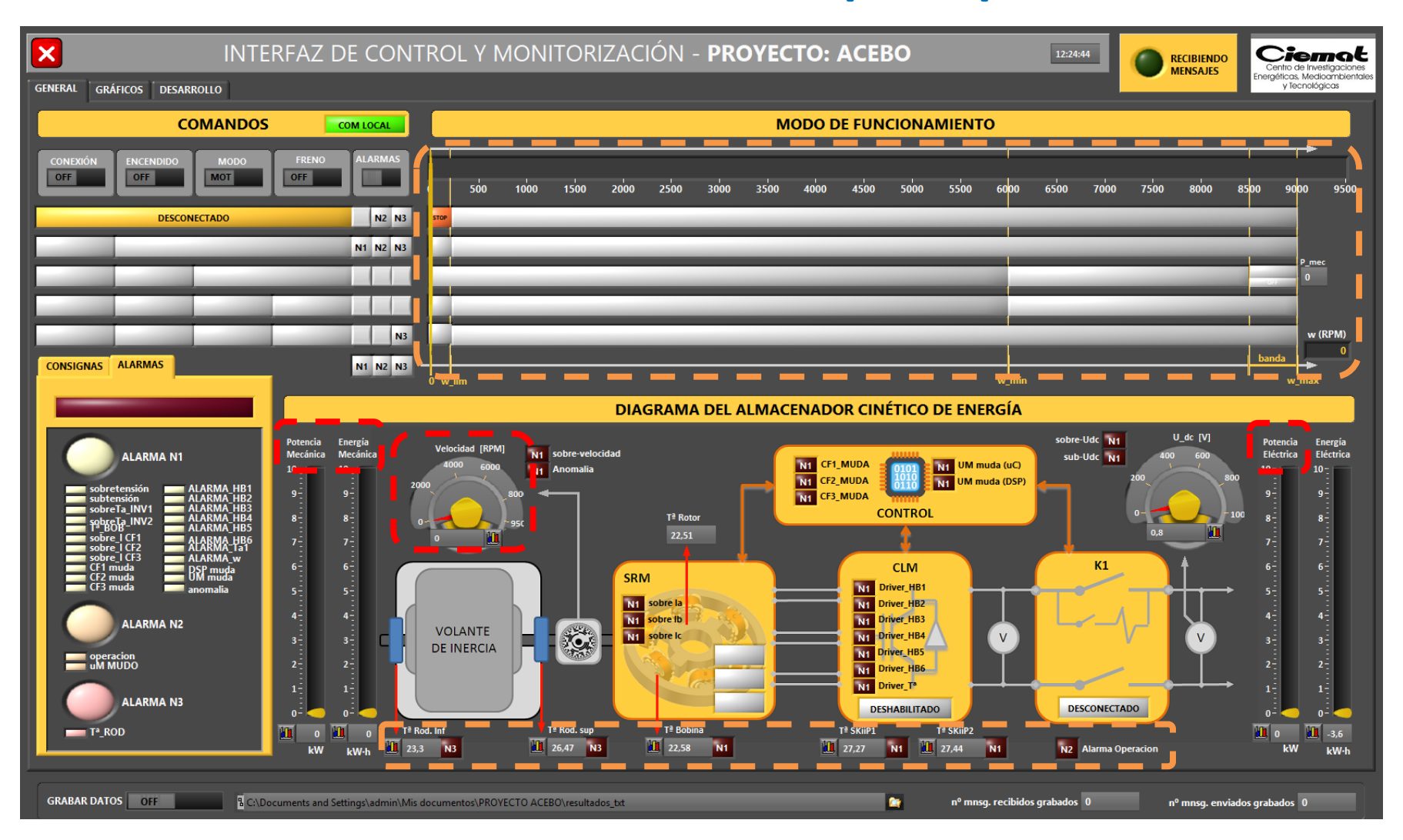
Centro de Investigaciones

Energéticas, Medioambientales y Tecnológicas





### 1. Volantes de inercia: Parámetros principales









### Volantes de Inercia: Formulación energía, potencia y dinámica (I)

El proceso energético está regido por las ecuaciones básicas:

> Energía Cinética de un volante de inercia o flywheel: 
$$E = \frac{1}{2} (J) \omega^2$$

> Energía útil de un flywheel: 
$$E_{util} = \frac{1}{2} \cdot J \cdot (\omega^2 - (\omega_{min}^2))$$

> Energía útil máxima: 
$$E_{m\acute{a}x\ util} = \frac{1}{2} \cdot J \cdot \omega_{max}^2 \cdot \left[1 - \left(\frac{1}{k}\right)^2\right] \qquad k = \frac{\omega_{max}}{\omega_{min}}$$

$$\triangleright$$
 Estado de carga:  $SoC = \frac{\omega}{\omega_{max}} \cdot 100$ 

- Datos de diseño o entrada
- Parámetros del modelo

k	SoC	$E_{util}$
$k = \frac{1}{2}$	[50% - 100%]	$0,75 \cdot E_{mcute{a}x}$
$k = \frac{1}{\sqrt{2}}$	[70% — 100%]	$0$ ,5 $\cdot$ $E_{mcute{a}x}$



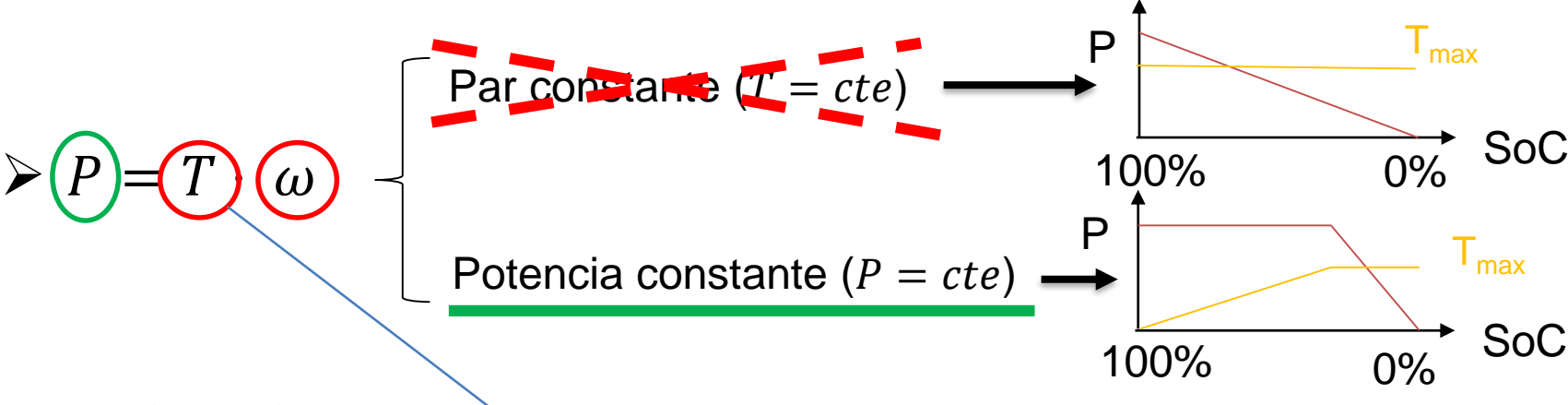






### 2. Volantes de Inercia: Formulación energía, potencia y dinámica (II)

Formulación en potencia:



Formulación dinámica:

- Ecuación de momento angular:  $T T_{autod} = J \alpha = J \left(\frac{d\omega}{dt}\right)$ 
  - Datos de diseño o entrada
  - Parámetros del modelo

$$\int_{\omega (t=0)}^{\omega} \frac{d\omega}{dt} = \int \frac{T - T_{autod}}{J}$$



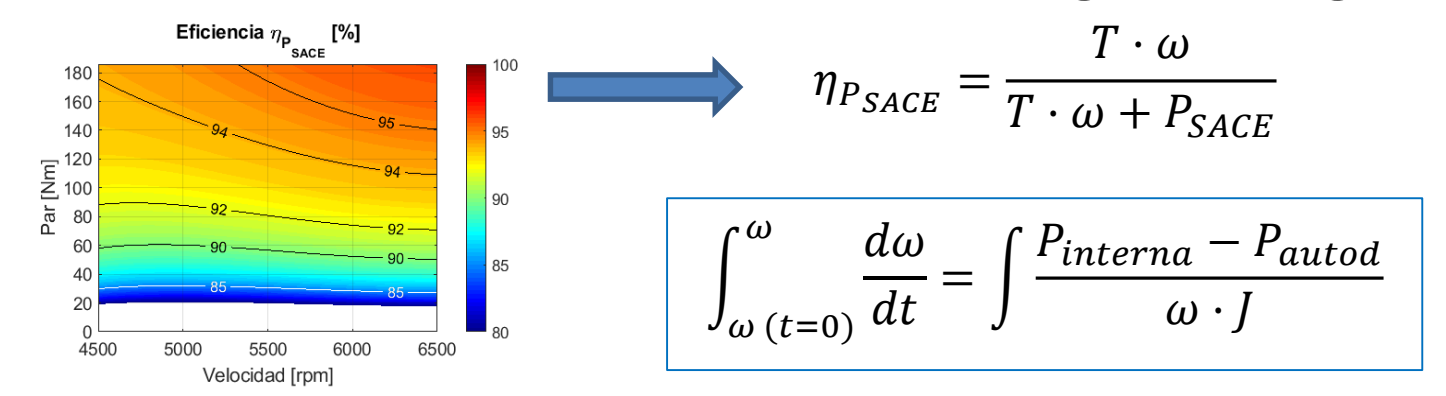




### Volantes de Inercia: Mapa de eficiencia de ciclado

### ¿Dónde se ve la eficiencia del ciclo de carga-descarga?





Casos	Potencia externa (P <sub>externa</sub> )	Potencia interna $(P_{interna})$	Comentarios
Almacenar	$P_{externa} > 0$	$P_{interna} = \eta_{P_{SACE}} \cdot P_{externa}$	$\begin{split} P_{interna} &< P_{externa} \\ E_{alm,real} &< E_{externa} \end{split}$
Ceder potencia	$P_{externa} < 0$	$P_{interna} = \frac{P_{externa}}{\eta_{P_{SACE}}}$	$P_{interna} > P_{externa}$ $E_{ced,real} > E_{externa}$
Standby	$P_{externa} = 0$	$P_{interna} = 0$	$P_{autod}$







### Volantes de Inercia: Control de un sistema con varios módulos

¿Hay diferencia entre operar un volante y otra tecnología de almacenamiento?

Reparto equitativo

$$P_{SAE\_total} = n_{m\'odulos} \cdot P_{mod\_SAE}$$

Activación escalonada "Stepped switching"

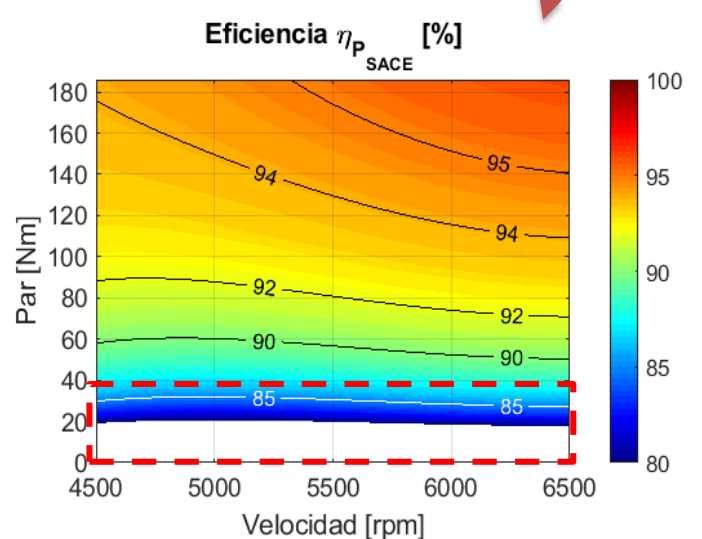
$$P_{SAE\_total} = \sum_{i=1}^{n_{modulos}} P_{i \ mod\_SAE}$$

$$n_{m\'odulos \ activos} = E \left[ \frac{P_{SAE\_total}}{P_{mod\_SAE}} \right] + 1$$

Tecnología	Estrategia control	Eficiencia [%]
SCs	Reparto equitativo	90.1%
KESS	Reparto equitativo	65.2%
SCs	Activación escalonada	91.0%
KESS	Activación escalonada	88.7 %



Ciemat

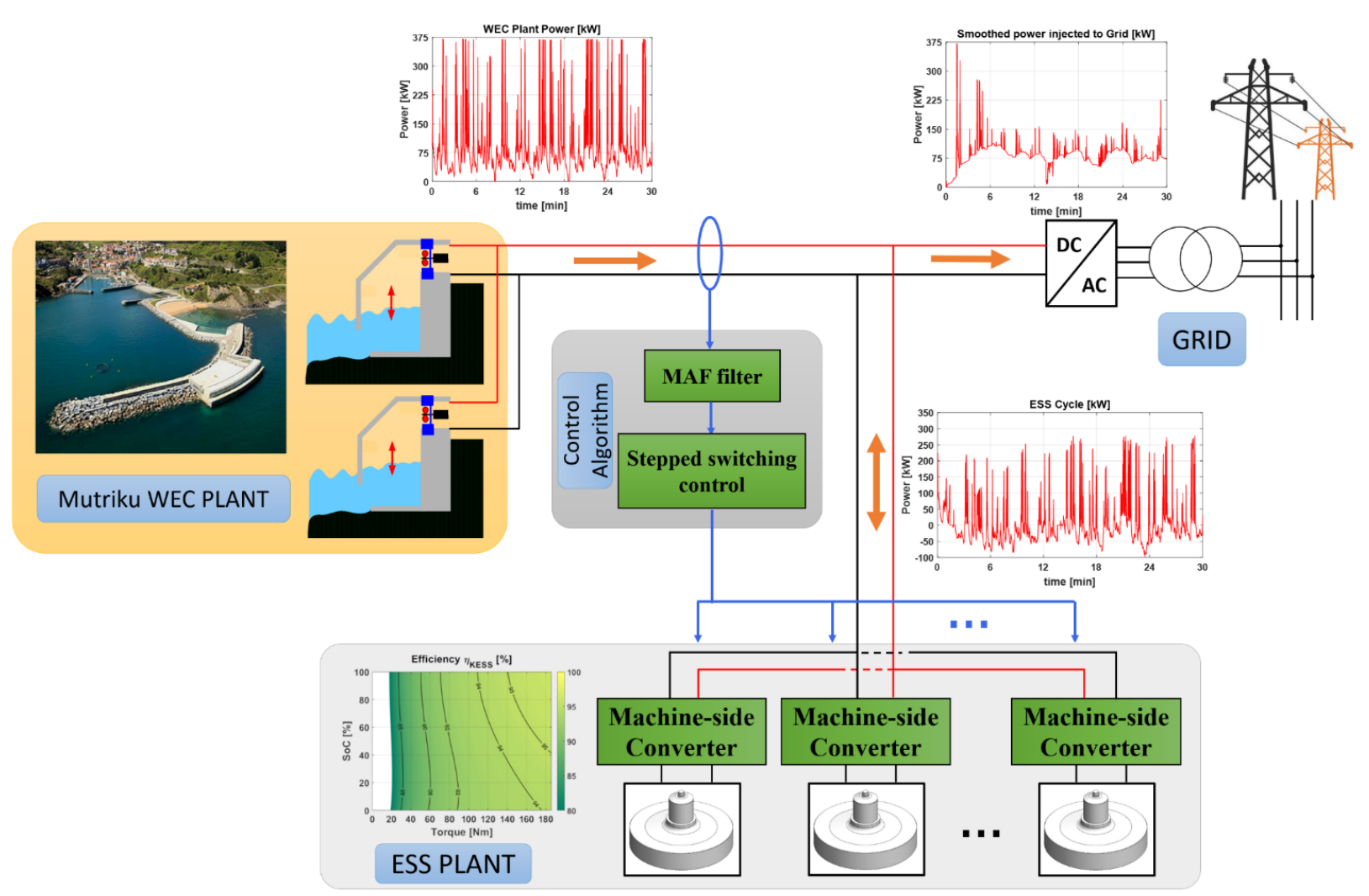








### 5. Volantes de Inercia: Esquema final

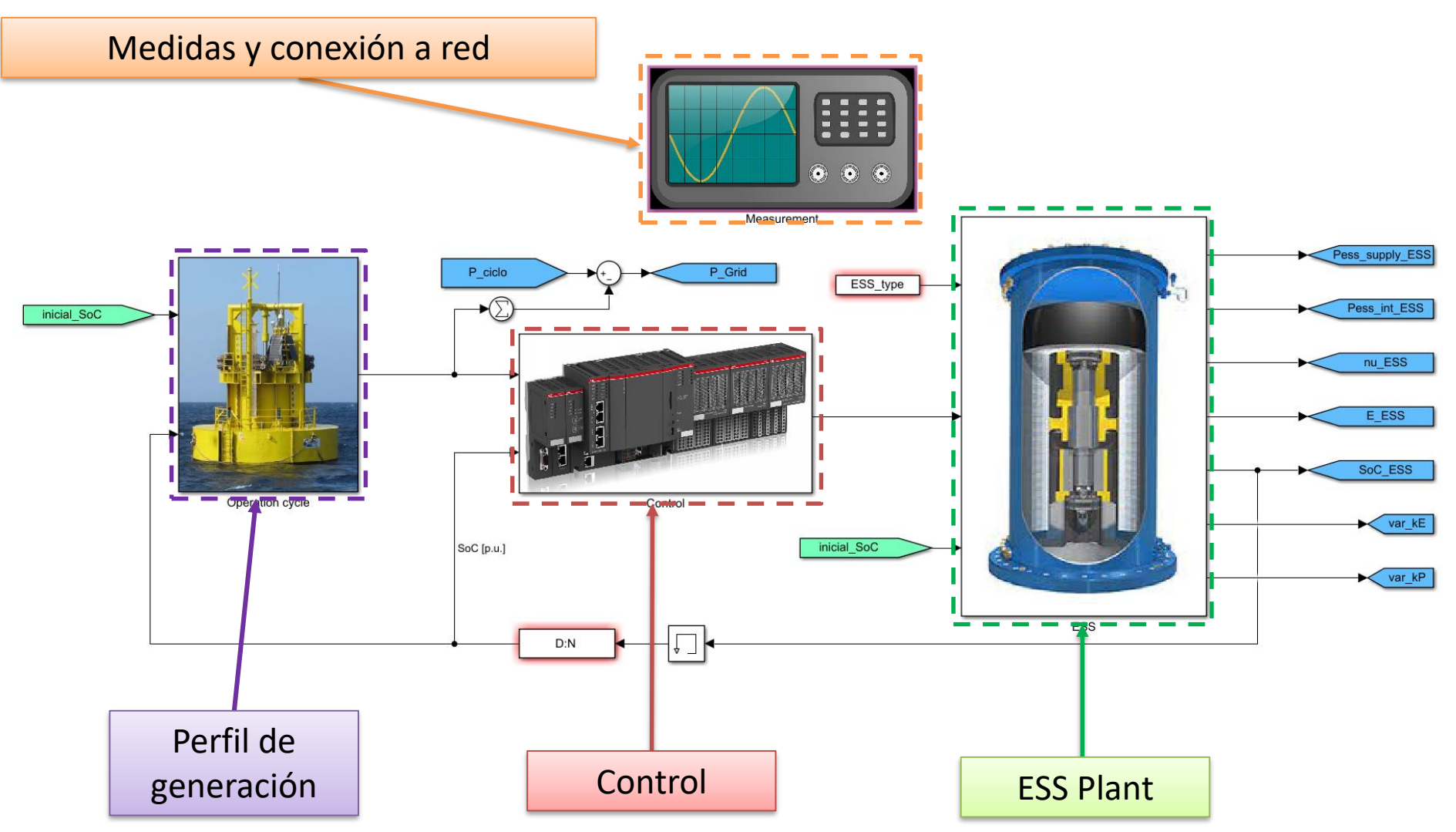








### 5. Volantes de Inercia: Esquema final









### 6. Plantas comerciales de almacenamiento con volantes



Tamaño: 20 MW | 5 MWh

Localización: Stephentown, New York

Aplicación: mejorar la estabilización de la frecuencia

durante el control primario.



Tamaño: 20 MW | 5 MWh

Localización: Hazle Township, Pennsylvania

Aplicación: mejorar la estabilización de la

frecuencia durante el control primario.



Tamaño: 2 MW | 0,5 MWh

Localización: Minto, Ontario (Canadá)

Aplicación: mejorar la estabilización de la

frecuencia durante el control primario.







# Plantas comerciales de almacenamiento híbrido con volantes (I)



Sistema híbrido combina baterías de plomo-ácido de 160kW/576 kWh del fabricante Hitachi con 2 volantes de inercia que aportan 320kW de la compañía Beacon Power. Esta planta piloto situada en County Offaly (Ireland) tiene como objetivo mejorar la estabilización de la frecuencia durante el control primario.









### 7. Plantas comerciales de almacenamiento híbrido con volantes (II)



Facility will be developed into Canada's first hybrid battery and flywheel storage project



TORONTO, Canada – May 30, 2019 – NRStor Inc. (NRStor), a developer of energy storage projects, today announced it has completed the acquisition of a 5MW connected energy storage facility, located in Clear Creek, Ontario.

Sistema híbrido combina baterías de litio con 10 volantes de inercia que aportan 5MW de la compañía Temporal Power. Esta planta piloto situada en Clear Creek, Ontario (Canada) tiene como objetivo mejorar la estabilización de la frecuencia durante el control primario.







### Plantas comerciales de almacenamiento híbrido con volantes (III)



2 sept 2020

### Flywheel-lithium battery hybrid energy storage system joining Dutch grid services markets



The hybrid system in Almelo, Netherlands. S4 Energy's flywheels in foreground with Leclanché containerised battery storage systems behind. Image: Leclanché.

Los volantes de inercia son una buena combinación para sistemas híbridos de almacenamiento.

El sistema híbrido combina baterías de litio de 8.8MW/7.12 MWh con 6 volantes de inercia que aportan 3MW. En total, tienen una capacidad de potencia de 9MW para la estabilización de la frecuencia durante el control primario.

Localización: Almelo (The Netherlands)







## Plantas comerciales de almacenamiento híbrido con volantes (IV)

### AdD HyStor Project - Flywheel battery hybrid energy storage system

AdD HyStor will develop and demonstrate an innovative adaptive flywheel battery hybrid energy storage system for dynamic grid stabilisation.



The innovative adaptive flywheel is modular and offers unparalleled configurability in terms of power to energy ratio which makes it the first dynamic energy storage system whose discharge duration can be matched exactly to the applications requirements.

Se efectúan dos plantas piloto:

- Irlanda: El sistema híbrido combina un volate de 250kW/10kWh con baterías de litio de 160kW para la estabilización de la frecuencia.
- Willenhall, UK: El sistema híbrido combina dos volates de 250kW con baterías de litio de Toshiba de 1MWh para la estabilización de la frecuencia durante el control primario.





Ciemat





### Plantas comerciales de almacenamiento híbrido con volantes (V)

Ejemplo de combinación de baterías con volantes de inercia y ultracondensadores



#### Proyecto OSMOSE. Lanzarote-Fuerteventura. 2018-2020

Baterías: 3 MW – 0.75 MWh

Volantes de inercia: 1.6 MW – 0.005 MWh

Ultracondensadores: 10MW – 0.015 MWh









### 6. Ejemplo de aplicación de volantes de inercia

### **EJERCICIO**

Se quiere diseñar un sistema de almacenamiento híbrido para una aplicación con las siguientes características: 370V de tensión de red, una energía de **50kWh** y una potencia de **2MW**. Se dispone en catálogo de Supercondensadores, baterías y volantes.

#### **Baterías**



Energía celda: 80.95 Wh Potencia celda: 242.85 W

#### **Supercondensadores**



Energía celda: 3Wh Potencia celda: 5 kW

#### Volantes de Inercia



Energía volante: 830 Wh Potencia volante: 250kW **6.** 









$$P_{total} = N_{bat} \cdot P_{cell_{bat}} + N_{FW} \cdot P_{unit\_FW}$$
 $N_{FW} = \frac{E_{total} - E_{unit\_FW}}{E_{unit\_FW}}$ 
 $E_{total} = N_{bat} \cdot E_{cell_{bat}} + N_{FW} \cdot E_{unit\_FW}$ 
 $N_{bat} = \frac{P_{total}}{P_{cell_{bat}}}$ 

$$N_{FW} = rac{E_{total} - rac{P_{total}}{P_{cell\_bat}} \cdot E_{cell\_bat}}{E_{unit\_FW} - rac{P_{unit\_FW}}{P_{cell\_bat}} \cdot E_{cell\_bat}}$$
 $N_{bat} = rac{P_{total}}{P_{cell\_bat}} - rac{P_{unit\_FW}}{P_{cell\_bat}} \cdot N_{FW}$ 

Casos	Volantes	Baterías	SCs
Vol + Bat	7.45 (8)	541.03 (541)	_
SCs + Bat	_	603.92 (604)	370.66 (371)
Vol + SCs	71.76 (72)	_	26.27 (27)

Esto se puede completar con una ecuación de costes y de envejecimiento de los dispositivos con el número de ciclos. Esto se define según los términos de exceso de potencia y/o energía.

$$P_{total} = N'_{bat} \cdot P_{cell_{bat}} + N'_{SC} \cdot P_{cell_{SC}} + \Delta P$$

$$E_{total} = N'_{bat} \cdot E_{cell_{bat}} + N'_{SC} \cdot E_{cell_{SC}} + \Delta E$$







### Gracias por su atención

Jorge Torres Miranda

jorge.torres@externos.ciemat.es